

بررسی عملکرد پایه پل‌های بهسازی شده با کامپوزیت‌های FRP

هاشم شریعتمدار^{*}، دانشیار، دانشکده مهندسی، دانشگاه فردوسی مشهد

امیر رضا برزگرپور، کارشناس ارشد سازه

ابراهیم زمانی بیدختی، دانشجوی دکتری سازه، دانشگاه فردوسی مشهد

E-mail: shariatmadar@um.ac.ir

دریافت: ۹۲/۱۱/۰۷ - پذیرش: ۹۲/۰۶/۲۵

چکیده

به منظور بررسی دقیق‌تر رفتار پایه پل‌های تقویت شده با کامپوزیت‌های FRP، دو نمونه پایه پل با مقاطع مستطیلی و دایره‌ای شکل با شرایط مختلف بارگذاری و تنوع در نحوه دوربیچ کردن کامپوزیت‌ها مورد مطالعه قرار گرفته و به روش اجزای محدود تحلیل شده است. برای مدل‌سازی بتن از المان سه بعدی هشت گره‌ای با قابلیت در نظر گرفتن ترک خوردگی در کشش و خرد شدن در فشار و برای مدل کردن آرماتورهای طولی از المان دو گرهی فشاری-کششی تک محوره استفاده شده است. آرماتورهای عرضی به صورت درصد حجمی در المان بتنی منظور شده است و برای مدل کردن مصالح کامپوزیت از المان سه بعدی هشت گره‌ای که دارای خاصیت لایه‌ای می‌باشد استفاده شده است. نتایج حاصل حاکی از آن است که با دوربیچ کردن تمام پایه پل، میزان شکل‌پذیری و مقاومت در هر دو نوع پایه پل افزایش یافته، ولی افزایش شکل‌پذیری در پایه پل مستطیلی و مقاومت در پایه پل دایره‌ای نسبت به نوع دیگر بیشتر بوده است.

واژه‌های کلیدی: روش اجزای محدود، تقویت پایه پل، مصالح کامپوزیت، مقاوم سازی، FRP

سعادت منش و همکاران (۱۹۹۴) دریافتند که مقاومت و شکل‌پذیری ستون‌های بتنی پل‌ها می‌تواند با پیچیدن دوربیچ‌های FRP به دور ستون به طور عمدت افزایش پیدا کند. همچنین، تأثیر محدود ساختن پارامترهای گوناگون از قبیل مقاومت فشاری بتن، ضخامت و حجم دوربیچ‌ها و نوع دوربیچ‌ها مورد مطالعه قرار گرفت. تحقیقات زیادی روی رفتار ستون‌های مستطیلی شکل تحت بارهای خارج از محور انجام گرفته است (هادی و ویدیارسا، ۲۰۱۲؛ پروین و ونگ، ۲۰۰۱؛ سونگ و همکاران، ۲۰۱۳).

در این مقاله، از بین روش‌هایی که برای بهسازی رفتار پایه پل‌ها موجود می‌باشند، روش استفاده از مصالح

۱. مقدمه

در سال‌های اخیر، روش‌های کارآمد و اقتصادی جهت تقویت ستون‌ها به طور ویژه‌ای مورد توجه قرار گرفته‌اند. روش‌هایی همچون استفاده از ورق‌ها جهت محصور نمودن و جلوگیری از قلوه‌کن شدن بتن پوششی از قدیمی‌ترین این روش‌هاست (چای و همکاران، ۱۹۹۱؛ غباره و همکاران، ۱۹۹۷؛ الکوسر و جیرسا، ۱۹۹۳؛ ماتیوس و روئینگر، ۱۹۹۹).

کاتسوماتا و همکاران (۱۹۸۸) ده ستون مستطیلی بتنی با ابعاد 200×200 mm را در مقیاس یک چهارم مورد آزمایش و بررسی قرار دادند. ستون‌ها قبل از آزمایش با دوربیچ‌های CFRP تقویت شده بودند.

۵. R1: مدل نرم افزاری پایه پل مستطیلی تحت بار ترکیبی (بار قائم ۱۰ تن و بار جانبی) بدون FRP
۶. RFRP,1: مدل نرم افزاری پایه پل مستطیلی تحت بار ترکیبی (بار قائم ثابت ۱۰ تن و بار جانبی) با دو لایه FRP
۷. RFRP,2: مدل نرم افزاری پایه پل مستطیلی تحت بار ترکیبی (بار قائم ثابت ۱۰ تن و بار جانبی) با دو لایه FRP و دو لایه FRP در یک سوم فاصله
۸. Co: مدل نرم افزاری پایه پل دایره ای تحت بار صرفاً قائم بدون FRP
۹. C1: مدل نرم افزاری پایه پل دایره ای تحت بار ترکیبی (بار قائم ۵ تن و بار جانبی) بدون FRP
۱۰. CFRP,1: مدل نرم افزاری پایه پل دایره ای تحت بار ترکیبی (بار قائم ثابت ۵ تن و بار جانبی) با دو لایه FRP

۲. معرفی نمونه های تست شده

نمونه اول: این نمونه یک پایه پل بتونی مستطیل شکل است که در سال ۲۰۰۲ توسط معالج و همکاران (۲۰۰۳) آزمایش شده است. مشخصات مکانیکی بتون و FRP به کار رفته در نمونه آزمایشگاهی اول در جدول ۱ بیان گردیده است.

ابعاد و هندسه های نمونه و مشخصات آرماتورها در شکل ۱ مشخص شده است.

کامپوزیت (FRP) مورد بحث و بررسی قرار می گیرد. با توجه به تست های انجام شده در این زمینه، جزئیات این تست ها همراه با نتایج بدست آمده از آزمایش ها ارائه می شود. سپس به ارائه مدل عددی اجزای محدود مناسب برای دو نوع پایه پل دایره ای و مستطیلی در حالت مشابه نمونه های آزمایشگاهی پرداخته خواهد شد. هندسه های این پل از روی پلی که در سال ۱۹۶۳ قبل از زلزله سن فرناندو (۱۹۷۱) ساخته شده بود انتخاب شده است. قاب ها به فاصله ۲۱/۸۶۹ متر از هم دیگر قرار گرفته اند و قاب شامل سه ستون و یک تیر سر ستون می باشد (پانتلیدس و گرگلی، ۲۰۰۲).

با مقایسه نتایج بدست آمده از مدل اجزای محدود و نتایج آزمایش ها، مطابقت مدل سازی با آزمایش های انجام شده مورد بررسی قرار خواهد گرفت و نهایتاً به بررسی وضعیت های مختلف پرداخته می شود.

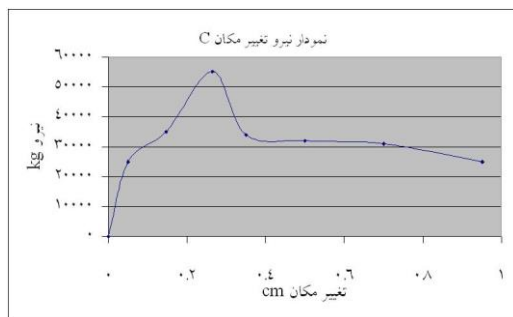
به منظور سهولت در ارائه گزارش ها، تست ها و مدل های بررسی شده به صورت زیر نام گذاری شده اند:

۱. R: تست آزمایشگاهی بررسی مدل مستطیلی با دو لایه FRP
۲. C: تست آزمایشگاهی بررسی مدل دایره ای بدون FRP
۳. Ro: مدل نرم افزاری پایه پل مستطیلی تحت بار صرفاً قائم و بدون FRP
۴. Ro,FRP: مدل نرم افزاری پایه پل مستطیلی تحت بار صرفاً قائم با دو لایه FRP مشابه تست آزمایشگاهی

جدول ۱. مشخصات مکانیکی بتون و FRP به کار رفته در نمونه آزمایشگاهی

مواد	مشخصات			
بتون	$f'_s = 22/4 \text{ MPa}$,	$\epsilon_{co} = 0/0.2$		
آرماتور طولی (T13) $\Phi=13 \text{ mm}$	$f_y = 461 \text{ MPa}$, $f_u = 561 \text{ MPa}$,	$E_s = 171 \text{ GPa}$, $\epsilon_{sh} = 0/0.234$,	$f_{sh} = 458 \text{ MPa}$,	$\epsilon_u = 0/0.900$
آرماتور طولی (T10) $\Phi=10 \text{ mm}$	$f_y = 541 \text{ MPa}$, $f_u = 626 \text{ MPa}$,	$E_s = 186 \text{ GPa}$, $\epsilon_{sh} = 0/0.220$,	$f_{sh} = 541 \text{ MPa}$,	$\epsilon_u = 0/0.934$
آرماتور عرضی (R6) $\Phi=6 \text{ mm}$	$f_y = 365 \text{ MPa}$,	$E_s = 211 \text{ GPa}$		
مشخصات کششی ورقه های FRP	$f_{au} = 600 \text{ MPa}$, $E_{a_{-4}} = 6785 \text{ MPa}$,	$\epsilon_{au} = 0/0.224$, $t_a = 1/0.8 \text{ mm}$	$E_{a_{-2}} = 26130 \text{ MPa}$,	
مشخصات فشاری ورقه های FRP	$E_{ac_{-2}} = 26789 \text{ MPa}$,	$E_{ac_{-4}} = 8391 \text{ MPa}$		
فولاد پیش تنیده	$f_{pu} = 1860 \text{ MPa}$,	$E_p = 195 \text{ GPa}$		

نمودار نیرو- تغییر مکان پایه پل به صورت شکل ۳ به دست آمده است. در نمودار شکل ۳، نمونه تست شده تا ظرفیت نهایی خود تحت بارگذاری محوری خارج از مرکز قرار گرفته است.



شکل ۳. منحنی نیرو- تغییر مکان نمونه آزمایشگاهی C

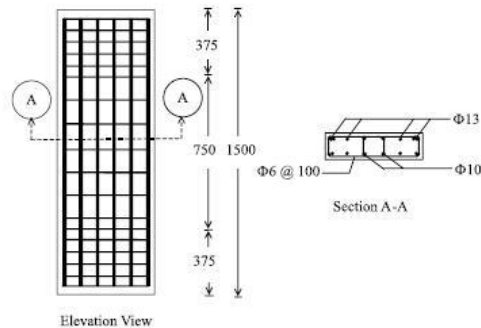
۳. مدل سازی نمونه ها

برای مدل سازی بتن مسلح از المان Solid65 استفاده شده است. این المان دارای ۸ گره بوده که دارای خواص ترک خوردگی در مقابل کشش، خرد شدگی در مقابل فشار و تغییر شکل های پلاستیک و خرزش می باشد. از طرفی، از المان Link8 که یک المان دو گرهی با ۳ درجه آزادی است جهت مدل سازی فولادها بهره جویی شده است.

جهت مدل سازی ترک، مدل ترک پخش شده به کار گرفته شد. همچنین، مدل مندر و همکاران (۱۹۸۸) جهت مدل سازی بتن محصور شده توسط فولاد به کار رفته است. این مدل، بنای بسیاری از مدل های ارائه شده برای منحنی تنش کرنش تنش محصور شده توسط کامپوزیت ها می باشد. مدل مندر او لین مدلی بود که برای مقاطع مستطیلی و دایره های قابلیت استفاده داشت.

در ادامه، به نتایج تحلیل اجزای محدود ستون های مدل سازی شده پرداخته شده است.

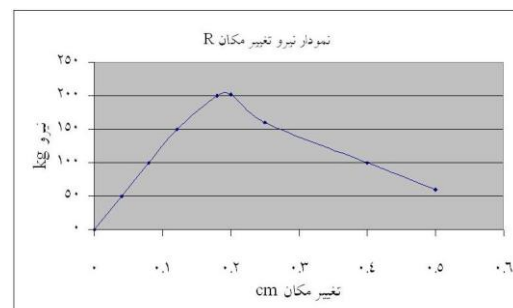
نمونه اول: در ابتدا یک پایه پل بتی مستطیل شکل با ابعاد مشخص شده به اندازه آزمایش در محیط نرم افزار ANSYS (شرکت انسیس) مدل سازی شده است. شکل ۴ چگونگی مشبندی نمونه R_{0,FRP} را نشان می دهد.



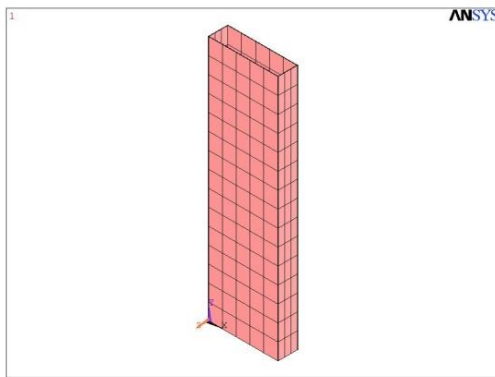
شکل ۱. مشخصات نمونه آزمایشگاهی - R₀

پایه پل در آزمایش اول به وسیله دو لایه FRP که مشخصات آنها در جدول ۱ ذکر شده و هر لایه ۱/۰۸ میلی متر ضخامت دارد پوشانده شده و سپس تحت نیروی قائم ناشی از جک هیدرولیکی شکسته شده است. نتایج نیرو- تغییر مکان در شکل ۲ آورده شده است. در این آزمایش، نمونه تا مقاومت نهایی تحت بارگذاری قرار گرفته است.

نمونه دوم: این نمونه یک پایه پل بتی دایره ای شکل با خاموت های دور پیچ است که در سال ۲۰۰۵ توسط هادی (۲۰۰۷) آزمایش شده است. این نمونه ۹۲۵ میلی متر ارتفاع داشته و مقطع آن دایره ای به شعاع ۲۰۵ میلی متر است. از ۶ آرماتور ۱۲ میلی متری و خاموت های دور پیچ ۶ میلی متری برای مسلح نمودن این نمونه بهره جویی شده است. مقاومت کششی آرماتور طولی ۵۰۰ مگا پاسکال و خاموت ۲۵۰ مگا پاسکال در نظر گرفته شده است. در اولین آزمایش، نمونه ساده و بدون FRP تحت بار قائم با خروج از مرکزیت ۵۰ میلی متر تحت بارگذاری قرار گرفته است.



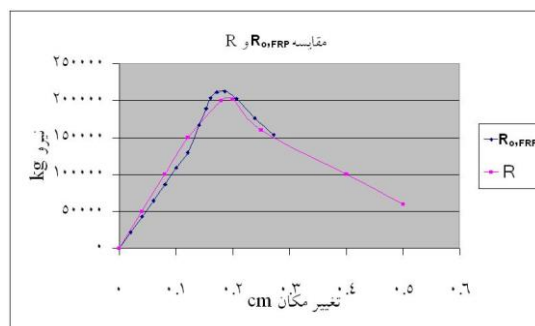
شکل ۲. منحنی نیرو- تغییر مکان نمونه آزمایشگاهی R



شکل ۶. نمای سه بعدی دو لایه FRP مربوط به مدل

$R_{o,FRP}$

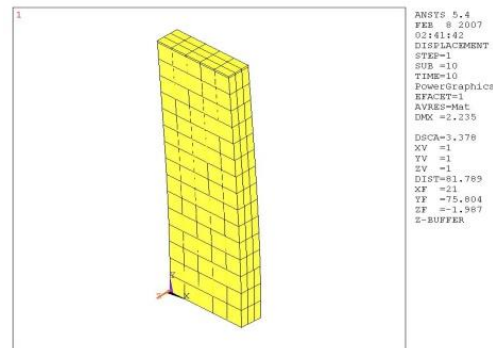
نمودار نیرو - تغییر مکان مدل $R_{o,FRP}$ در شکل ۷ ارائه شده است. این نمودار از لحاظ رفتاری مشابه حالت قبل بوده، با این تفاوت که الیاف کربنی استفاده شده در بهسازی ظرفیت میزان نیرو و جابجایی واردہ را افزایش داده است. همانگونه که در شکل ۷ مشاهده می شود، تطبیق قابل قبولی بین دو نمودار وجود دارد.



شکل ۷. مقایسه نتایج آزمایشگاهی R و تحلیل مدل $R_{o,FRP}$

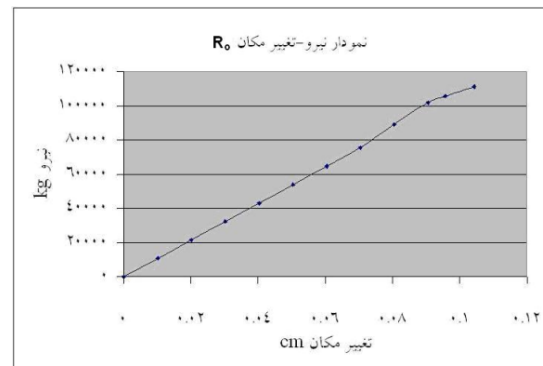
به منظور بسط و اطمینان بیشتر از نتایج، تست دوم نیز مدل گردیده است.

نمونه دوم: در اینجا نیز اول یک پایه پل دایره‌ای با ابعاد مشخص و منطبق با ابعاد تست شده مدل‌سازی شده و با وارد کردن جابجایی قائم به بالای پایه پل و انجام تغییرات لازم، تحلیل انجام گرفته است. شکل ۸ نحوه مشبندی را در مقطع ستون دایروی نشان می‌دهد.



شکل ۸. مدل و مشبندی $R_{o,FRP}$

نتایج تحلیل به صورت نمودار نیرو - تغییر مکان شکل ۵ ارائه گردیده است. این نمودار رفتار نیرو - تغییر مکان پایه پل تحت بار محوری را نمایش می‌دهد. همانطور که مشخص است، در ابتدا نمونه عملکرد خطی در محدوده الاستیک داشته و سپس در محدوده غیر خطی تا ظرفیت نهایی خود افزایش نیرو می‌یابد. در نهایت، این نمونه به واسطه اثر مضاعف ترکهای عرضی گسیخته می‌گردد.



شکل ۹. نمودار نیرو تغییر مکان مدل R_o

حال، بعد از تحلیل پایه پل ساده به منظور واسنجی، پایه پل را همانند آزمایش انجام شده به کمک دو لایه FRP مقاوم سازی نموده و تحت جابجایی قائم تحلیل انجام می‌شود.

شکل ۱۰ نمای سه بعدی دو لایه FRP مربوط به مدل $R_{o,FRP}$ را نشان می‌دهد.

به عنوان تحلیل اول، پایه پل بدون FRP بررسی می‌شود. نمودار نیرو-تغییر مکان در شکل ۱۰ آورده شده است. از آنجایی که در شکل ۱۰ پایه پل علاوه بر نیروی محوری تحت نیروی جانبی نیز قرار گرفته، مقاومت نهایی کمتری را تجربه می‌کند.

مطابق رابطه (۱) شکل پذیری تابعی از تغییر مکان نهایی و تغییر مکان نقطه‌ی تسليم عضو می‌باشد:

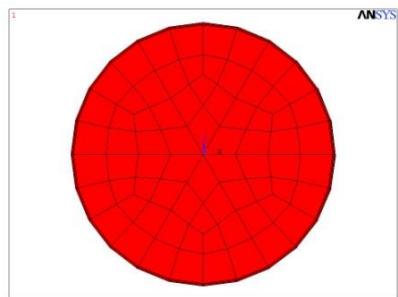
$$\mu = \frac{\delta_u}{\delta_y} \quad | \quad (1)$$

که δ_u تغییر مکان نهایی و δ_y تغییر مکان نقطه‌ی تسليم عضو هستند. با احتساب δ_y در نقطه‌ی ماکریم (قبل از اثر ترک خوردگی‌های بزرگ و محلوده کاهش مقاومت) ضریب شکل پذیری $\mu = \frac{2/5}{1/5} = 2/5$ و مقاومت نهایی سیستم هم ۲۱۷۹۸ کیلوگرم می‌باشد. حال، در تحلیل دوم، همین پایه پل به کمک دو لایه FRP که هر لایه ۰/۱۰۸ میلی‌متر ضخامت دارد، مقاوم سازی می‌شود.

در حالت دوم، ضریب شکل پذیری $\mu = 3/12 = 1/4$ و مقاومت نهایی نیز ۲۵۶۳۴ کیلوگرم مشاهده می‌شود. میزان افزایش شکل پذیری $24/8\%$ بوده و مقاومت نیز به میزان $17/59\%$ افزایش یافته است.

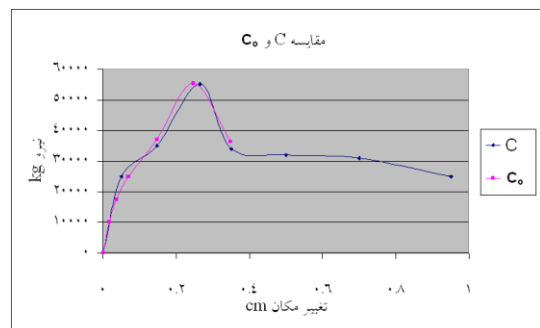
نمودار نیرو-تغییر مکان نمونه‌های R_1 , $R_{FRP,1}$, $R_{FRP,2}$ در شکل ۱۰ رسم شده است. پایه پل به کمک ورق‌های کربنی دور پیچ شده، که در نتیجه، میزان نیرو و تغییر مکان به میزان قابل توجهی افزایش یافته است. مهمترین علت در این مورد جلوگیری از گسترش ترک‌ها و به تأثیر اندامخت آنهاست.

به عنوان سومین تحلیل پایه پل، مطابق شکل ۱۱، نمونه $R_{FRP,2}$ در ابتداء و انتهای علاوه بر دولایه FRP قبلی با دولایه به طول ۳۰ سانتی‌متر پوشانده شده است. در این تحلیل، $\mu = 3/326$ و بار نهایی برابر ۲۷۱۴۵ کیلوگرم به دست آمده است.



شکل ۸. پلان مشبندی مقطع پایه پل دایره‌ای

نتایج حاصل از تحلیل به صورت شکل ۹ ارائه شده است. همانطور که مشخص است، به دلیل یکسان بودن سختی در دو جهت؛ این نمودار نسبت به نمودار مشابه در حالت پایه پل مستطیلی رفتار نرمتر و مناسب‌تری دارد. همانگونه که مشاهده می‌شود، انطباق خوبی بین دو نمودار وجود دارد که این انطباق مناسب از دقت عمل لازمه در مدل‌سازی حکایت می‌کند.

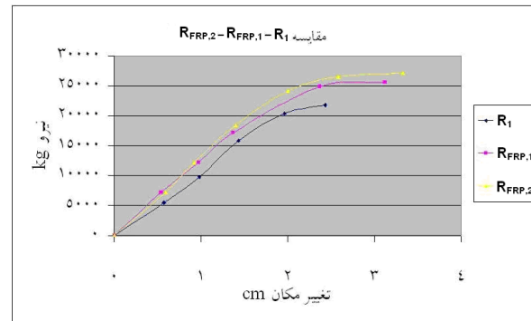
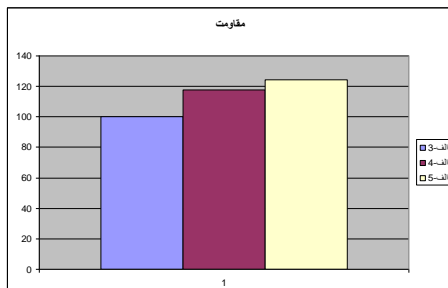


شکل ۹. مقایسه نتایج آزمایشگاهی C و تحلیل مدل ۰

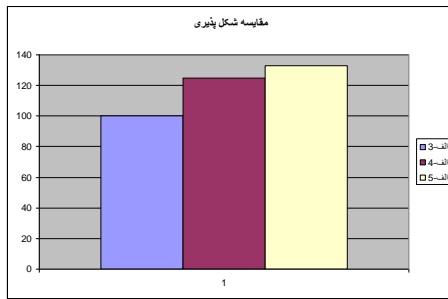
پس از انجام عمل واسنجی و اطمینان از صحت نتایج حاصل از نرم‌افزار، به بررسی تأثیر کامپوزیت‌های FRP پرداخته شده است.

۴. تأثیر کامپوزیت‌های FRP

در ابتدا پایه پل مستطیلی مورد بررسی قرار گرفته است. با توجه به ظرفیت این پایه پل و به منظور اینکه کارایی آن به عنوان عضوی که تحت نیروی محوری و لنگر خمشی است بررسی شود، پایه پل را تحت بار قائم ۱۰ تن قرار داده و با اعمال جابجایی افقی، پایه پل تحلیل می‌گردد.



شکل ۱۰. مقایسه نتایج تحلیل عددی مدل های R_1 , $R_{FRP,1}$ و $R_{FRP,2}$

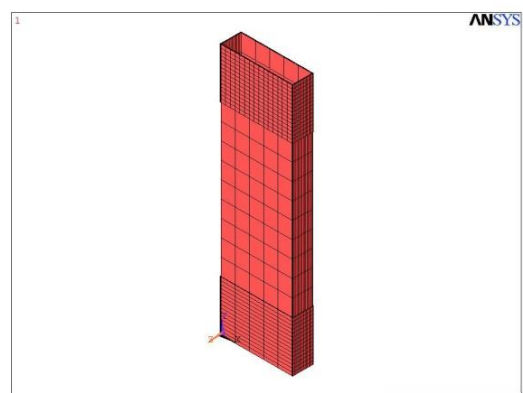


شکل ۱۲. مقایسه شکل پذیری

پایه‌ی پل دایروی در این بخش مورد بررسی قرار گرفته است. این پایه ابتدا بدون FRP با بار قائم ۵ تن و جابجایی افقی تحلیل شده است، که نتایج در شکل ۱۴ آمده است.

همانطور که مشاهده می‌شود، نیروی جانبی قابل توجه وارد موجب شده که میزان مقاومت نمونه نسبت به حالتی که صرفاً بار محوری با خروج از محور جزیی بود به میزان قابل توجهی کاهش یابد. نتایج تحلیل به $\frac{1/6}{0/4} = \frac{4}{0/4} = 4$ μ و بار نهایی را برابر ۹۰۱۰ کیلوگرم نشان می‌دهد.

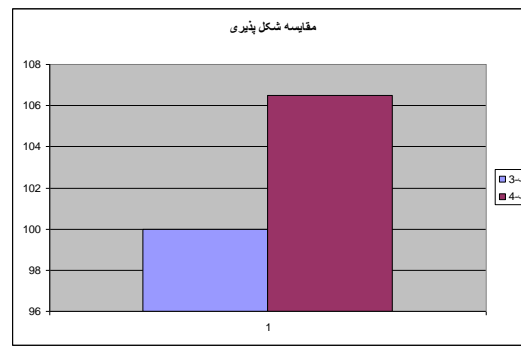
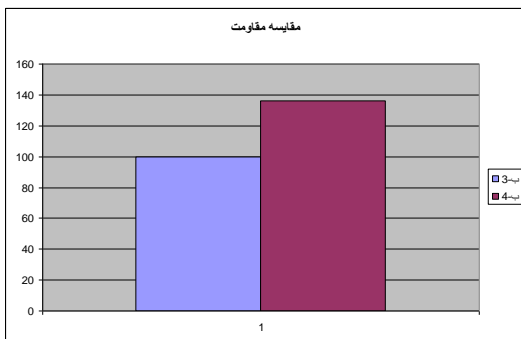
در تحلیل دوم، مطابق شکل ۱۳، پایه پل به کمک دو لایه FRP به ضخامت ۱۰/۰ میلی‌متر مقاوم سازی شده است.



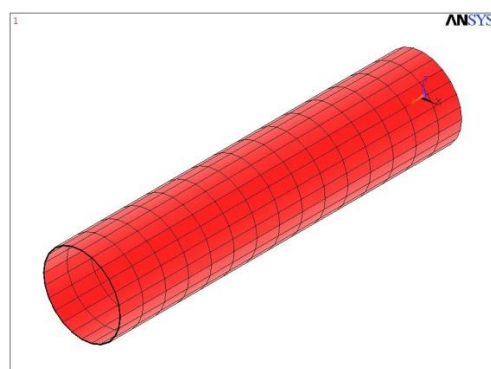
شکل ۱۱. نمای سه بعدی لایه‌های FRP مربوط به مدل $R_{FRP,2}$

همانگونه که در شکل ۱۰ مشخص است، استفاده از دو لایه در بالا و پایین علاوه بر دورپیچ کردن در نمونه $R_{FRP,2}$ توانسته است به صورت موضعی مفصل پلاستیک ایجاد شده در پایین پایه پل را مهار کرده و موجب افزایش نیرو و تغییر مکان نمونه شود.

شکل ۱۲ مقایسه بین شکل پذیری بین نمونه‌های با و بدون تقویت را نشان می‌دهد. همانطور که مشاهده می‌شود، در حالت سوم ۶٪ شکل پذیری نسبت به حالت دوم و ۲۳٪ نسبت به حالت اول افزایش یافته و مقاومت ۸٪ نسبت به حالت دوم و ۵٪ نسبت به حالت اول افزایش یافته است.



شکل ۱۵. مقایسه شکل پذیری



شکل ۱۳. نمای سه بعدی و مشبندی دو لایه FRP در

 $C_{FRP,1}$ مدلسازی

نتایج در شکل ۱۴ به صورت نمودار نیرو- تغییر مکان مشاهده می‌گردد. در اینجا نیز تأثیر دورپیچ کردن پایه پل در افزایش مقوومت و شکل‌پذیری نمونه، بالاخص در حیطه پلاستیک، به وضوح قابل مشاهده است. به عنوان علت اصلی، می‌توان گفت که ترک‌های عمقی عریض در ناحیه پلاستیک به صورت جدی وارد می‌شوند و الیاف مصرفی به خوبی این موضوع را به تأخیر انداخته‌اند. نتایج تحلیل نشان از افزایش شکل‌پذیری به میزان $\mu = \frac{2/13}{0/5} = \frac{4/26}{0/5}$ می‌باشد و همچنین بار نهایی در این تحلیل برابر ۱۲۳۰۲ کیلوگرم به دست آمده است.

۵. نتیجه‌گیری

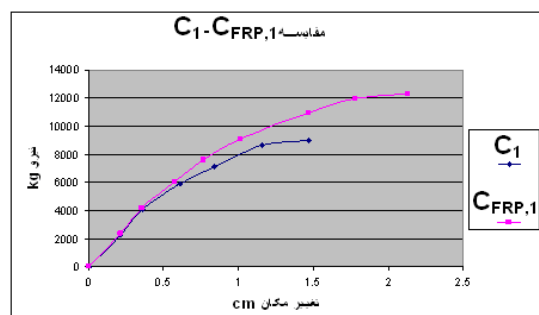
در این تحقیق، شیوه‌ای برای مدلسازی بتن محصور شده توسط آرماتور و FRP با دسترسی به نتایج آزمایشگاهی محدود یافته شده و نتایج زیر حاصل گردیده است:

۱. قرارگیری بتن تحت تنشی‌های فشاری چندمحوره باعث افزایش مقوومت و شکل‌پذیری بتن می‌گردد که این افزایش به دلیل جلوگیری از گسترش ترک‌های عرضی در بتن می‌باشد. محصور نمودن بتن توسط کامپوزیت‌ها (FRP) نیز باعث ایجاد تنش‌های چندمحوره می‌گردد. این مسئله نیز نقش بهسزایی در افزایش ظرفیت باربری و شکل‌پذیری پایه‌ی پل دارد.

۲. شیوه ارائه شده در مدلسازی اجزای محدود پایه پل بتنه محور در کامپوزیت مناسب و قابل کابرد است.

۳. با محصور نمودن تمام پایه پل در پوشش کامپوزیتی بیشترین استفاده از ظرفیت محصور‌کنندگی FRP در بار محوری خالص محقق می‌گردد.

۴. در حالت ترکیب بار محوری و خمی، محصور نمودن نواحی مفاصل پلاستیک تا جایی که انهدام پایه پل کششی باشد، بر افزایش مقوومت مؤثر است. در انهدام

شکل ۱۴. مقایسه نتایج تحلیل عددی مدل‌های C_1 و $C_{FRP,1}$

همانگونه که در شکل ۱۵ مشاهده می‌شود، شکل‌پذیری و مقوومت نیز $\approx 36\%$ افزایش یافته است. در اینجا نیز محصور کردن مفصل ایجاد شده در ابتدای پایه پل به خوبی توانسته به صورت موضعی از شکست زود هنگام جلوگیری کند.

۷. در پایه پل دایره ای، دوربیچ کردن تمام پایه پل با دو لایه FRP شکل پذیری را $6/5\%$ و مقاومت را 36% افزایش می دهد.
۸. دوربیچ کردن تمام پایه پل، میزان شکل پذیری پایه پل مستطیلی را بیش از دایره ای افزایش می دهد. در حالی که همین موضوع باعث افزایش بیشتر مقاومت پایه پل دایره ای نسبت به پایه های پل مستطیلی می گردد.
۹. فشاری پایه پل، محصور نمودن نواحی مفصل پلاستیک تأثیر چندانی بر افزایش مقاومت پایه پل ندارد.
۱۰. در پایه پل مستطیلی، دوربیچ کردن تمام پایه پل با دو لایه FRP شکل پذیری را $24/8\%$ و مقاومت را $17/59\%$ افزایش داده است.
۱۱. در پایه پل مستطیلی، دوربیچ کردن تمام پایه پل با دو لایه FRP و یک سوم بالا و پایین، شکل پذیری را 33% و مقاومت را $24/5\%$ افزایش داده است.

۶. مراجع

- Alcocer, S. M. and Jirsa, J. O. 1993. "Strength of reinforced concrete frame connections rehabilitated by jacketing". ACI Struct. J. 90(3): 251-261.
- ANSYS user's manual for revision 5.0, Vol. 4. Swanson Analysis Systems Inc.
- Chai, Y. H., Priestley, M. J. N. and Seible, F. 1991. "Seismic retrofit of circular bridge columns for enhanced flexural performance". ACI Struct. J. 88(5): 572-584.
- Ghobarah, A., Aziz, T. S. and Biddah, A. 1997. "Rehabilitation of reinforced concrete frame connections using corrugated steel jacketing". ACI Struct. J. 94(3): 282-294.
- Hadi, M. N. 2007. "Behaviour of FRP strengthened concrete columns under eccentric compression loading". Compos. Struct. 77(1): 92-96.
- Hadi, M. and Widiarsa, I. 2012. "Axial and flexural performance of square RC columns wrapped with CFRP under eccentric loading". J. Compos. Constr. 16(6): p. 640-649.
- Katsumata, H., Kobatake, Y. and Takeda, T. 1988. "A study on strengthening with carbon fiber for earthquake-resistant capacity of existing reinforced concrete columns". Proc. 9th Conference on Earthquake Engineering.
- Maalej, M., Tanwongsval, S. and Paramasivam, P. 2003. "Modelling of rectangular RC columns strengthened with FRP". Cement and Concrete Comp. 25(2): 263-276.
- Mander, J. B., Priestley, M. J. and Park, R. 1988. "Theoretical stress-strain model for confined concrete". J. Struct. Eng. 114(8): 1804-1826.
- Mathews, F. L. and Rawlings, R. D. 1999. "Composite Materials: Engineering and Science". Elsevier.
- Pantelides, C.P. and Gergely, J. 2002. "Carbon-fiber-reinforced polymer seismic retrofit of RC bridge bent: Design and in situ validation". J. Compos. Constr. 6(1): 52-60.
- Parvin, A. and Wang, W. 2001. "Behavior of FRP jacketed concrete columns under eccentric loading". J. Compos. Constr. 5(3): 146-152.
- Saadatmanesh, H., Ehsani, M. R. and Li, M. W. 1994. "Strength and ductility of concrete columns externally reinforced with fiber composite straps". ACI Struct. J. 91(4): 434-447.
- Song, X., Gu, X., Li, Y. and Zhang, W. 2013. "Mechanical behavior of FRP-strengthened concrete columns subjected to concentric and eccentric compression loading". J. Compos. Constr. 17(3): 336-346.